

## یافتن *CGRP* در کبد گاو و بررسی تنوع آن بین گونه‌های مختلف جانوری

Investigation of *CGRP* gene expression in cow liver tissue and its variety among different species of animal

حمیده کشاورزی<sup>\*</sup>، محمدعلی ادریس<sup>۲</sup>، حمیدرضا رحمانی<sup>۳</sup>  
۱-دانشجوی کارشناسی ارشد، استاد و دانشیار، دانشگاه صنعتی اصفهان

Keshavarzi H<sup>\*1</sup>, Edris MA<sup>2</sup>, Rahmani HR<sup>3</sup>

۱,2,3. MSc Student, Professor and Associate Professor , Isfahan University of Technology, Isfahan

\* نویسنده مسئول مکاتبات، پست الکترونیکی: h.keshavarz\_313@yahoo.com

(تاریخ دریافت: ۹۰/۱۱/۱۰ - تاریخ پذیرش: ۹۱/۱۱/۲۹)

### چکیده

پیتید همراه ژن کلسوی توفین (*CGRP*) یک نوروبیتید با ۳۷ اسیدآمینه است که در پستانداران وجود دارد. از نظر پاتولوژیکی، *CGRP* در تنظیم آزادسازی فاکتورهای التهابی نقیض IL-1 $\beta$ , TNF $\alpha$  و نوراپی‌تفرین نقش دارد. از آنجا که غلظت *CGRP* در زمان بیماری تغییر کرده و این نوروبیتید با آزادسازی فاکتورهای التهابی در ارتباط است، می‌توان از *CGRP* به عنوان یک فاکتور تشخیص بیماری استفاده کرد. در بررسی یافتن ژن *CGRP* در بافت کبد گاو ابتدا نمونه کبد از گاوها مورد نظر (۲ گاو تا ۶۰ روز شیردهی و ۸ گاو کشتارگاهی) که گاو خشک و گاو نر بودند) گرفته شد و بالاصله به ازت اضافه شده و به آزمایشگاه منتقل شد. در آزمایشگاه پس از استخراج RNA و ارزیابی کیفیت RNA، سنتز cDNA و RT-PCR برای بررسی یافتن انجام شد. در این تحقیق مشخص شد که ژن *CGRP* در بافت کبد گاوها شیری (تا روز ۶۰ شیردهی) قابلیت یافتن دارد ولی بر اساس نتایج این تحقیق احتمالاً در بافت کبد گاوها نر و گاوها دوره خشک قابلیت یافتن ندارد. همچنین در این تحقیق تنوع اسید آمینه‌ای ژن *CGRP* با استفاده از نرم‌افزارهای MEGA و DNAMAN Multalin براساس توالی اسید آمینه‌ای آن در پایگاه اطلاعاتی NCBI بررسی شد. از نظر تنوع اسید آمینه‌ای این ژن در گاو بیشترین همولوژی را با گوسفند، موش، صحرابی و سگ دارد. همچنین میزان همولوژی این ژن در انسان و گاو بالاست (۹۴ درصد)، بنابراین احتمالاً در صورت نیاز به اندازه‌گیری و بررسی یافتن این فاکتور در خون گاو می‌توان از کیت موش یا انسان استفاده کرد.

### واژه‌های کلیدی

بافت کبد،  
بیان ژن،  
پیتید همراه ژن کلسوی توفین،  
تنوع ژنتیکی،  
RT-PCR

## مقدمه

پپتید همراه ژن کلسی‌تونین (*CGRP*)<sup>۱</sup>، یک نوروپپتید با ۳۷ اسیدآمینه است که در سیستم عصبی محیطی پستانداران وجود دارد. این نوروپپتید در سال ۱۹۸۲ بوسیله کلونیگ مولکولی ژن کلسی‌تونین کشف شد. بر اساس تفاوت در ژن کد کننده، *CGRP* به دو نوع  $\alpha$ -*CGRP* و  $\beta$ -*CGRP* تقسیم می‌شود (Grant 2004; Pin and Bahr 2008). این ژن و گیرنده‌های آن در سیستم‌های عصبی مانند نواحی معزی و سیستم قلبی-عروقی قرار دارد و در عملکرد فیزیولوژیکی و حفظ هموستانزی سیستم‌های تولیدمثل، گوارش، تنفسی، عصبی، قلب و عروق پستانداران نقش دارد. از نظر ساختاری *CGRP* خانواده پپتیدی مشکل از Hongbao، کلسی‌تونین، آدرنومدولین و آمیلین است (Hongbao 2004). در سیستم عصبی محیطی، *CGRP* به همراه ماده P در نورون‌های حسی گانگلیا و در نورون‌های حرکتی به همراه استیل کولین وجود دارد. بیان این نوروپپتید در هیپوتالاموس بوده در حالی که mRNA ژن کلسی‌تونین در تیروئید موجود است (Bell and McDermott 1996; Brain and Grant 2004; Lerner 2006). ژن *CGRP* بطور اختصاصی در برخی سلول‌ها بیان و تنظیم می‌شود. راهانداز این ژن توسط دو المتن ویژه، المتن پاسخی *cAMP* پروکسیمال و یک تقویت کننده ویژه تنظیمی دیستال، تنظیم می‌شود که این المتن‌ها توسط مسیرهای سیگنال‌دهی پروتئین کیناز فعال کننده میتوژن (*MAPK*)، فعال می‌شوند (Gracious et al. 2008). نوروپپتید *CGRP* به همراه ماده P در نورون‌های حسی حسماں آوران ذخیره و جابجا می‌شود (Springer et al. 2003). از عوامل مؤثر بر آزادسازی *CGRP*، محرك‌های شبیهای و الکتریکی هستند. از آنجا که گیرنده‌های واسطه‌های التهابی نظری هیستامین روی نورون‌های حسی قرار دارند، این واسطه‌های التهابی و همچنین دیگر مواد نظری اکسید نیتریک و لوكوتربین‌ها سبب آزاد سازی *CGRP* می‌شوند. سیتوکین‌های التهابی مانند ایتلرولوکین بتا (IL-1 $\beta$ ) و فاکتورهای رشد عصبی (NGF) سبب فعال‌سازی *cAMP*، *PKC* و نهایتاً *MAPK* شده و با فعال کردن راهانداز این ژن سبب بیان و آزادسازی آن می‌شوند (Springer et al. 2003).

(2002). استروژن و پروژسترون اثر مستقیمی بر سنتز و آزادسازی *CGRP* ندارند ولی این دو هورمون استروئیدی در اعصاب گانگلیایی پشتی و در حضور *NGF* باعث افزایش آزادسازی *CGRP* می‌شوند (Wimalawansa 1996).

نوروپپتید *CGRP* دارای فعالیت بیولوژیکی است که گشادکردن عروق خونی، مصنوبیت قلبی و اثرات متابولیکی گوناگونی مانند تعديل حساسیت انسولین در ماهیچه اسکلتی و کبد را بر عهده دارد و به عنوان یک تنظیم کننده گردش خون و نوروترانسمیتر مشخص شده است (Bell and McDermott 1996). این نوروپپتید سبب کاهش فشار خون از طریق تنظیم درون سلولی کلسیم ( $Ca^{2+}$ ) با مهار جریان آزادسازی  $Ca^{2+}$  از شبکه سارکوپلاسمی، کاهش حساسیت عضلات به انقباض در پاسخ به  $Ca^{2+}$ ، افزایش درون سلولی *cAMP*، فعال کردن کانال پتانسیم با صرف ATP و آزادسازی اکسید نیتریک می‌شود (Bell and McDermott 1996). پپتید *CGRP* در دستگاه گوارش باعث مهار ترشح اسید معده با تحریک ترشح سوماتواستاتین می‌شود و در کبد، در ابساط کیسه صفراء با مهار *CCK* و متابولیسم کبدی نقش دارد (Saitou and Nei 1987). در طی آبستنی استروژن و پروژسترون باعث افزایش سنتز و آزادسازی *CGRP* می‌شوند. افزایش *CGRP* باعث تنظیم جریان خون جفت و تأمین مواد مغذی جنین می‌شود و در تکامل جنین و نگهداری رحم در طی دوران آبستنی نقش دارد (Wimalawansa 1996).

پپتید *CGRP* به عنوان یک نوروپپتید ترشحی از اعصاب خودکار عصبی ترشح شده و به همراه ناقلين عصبی VIP، NPY و ماده P در تنظیم ترشحات، حرکات و کنترل اعصاب دستگاه گوارش و اشتها دخالت دارد. به طوری که با توجه به نقش این نوروپپتید در بیماری‌های متابولیکی، یک نقش عصبی-تغذیه‌ای برای آن مطرح شده است (Pin and Bahr 2008). مطالعات دیگر نشان داده که *CGRP* اثرات تغذیه‌ای روی سوبستراهایی نظیر فیریل‌های ماهیچه‌ای و نورون‌های محیطی دارد. همچنین این پپتید با اعصاب پانکراس و تحریک آزادسازی انسولین و هم چنین با تأثیر بر انتقال مواد مغذی جذب شده از روده به کبد، نقش مهمی در کنترل تغذیه و بیماری‌های متابولیکی دارد (Liyu et al. 2000). از نظر پاتولوژیکی، *CGRP* در تنظیم آزادسازی عوامل التهابی

<sup>1</sup> Calcitonin gene related peptide

لیتر از محلول RNX (جهت هموژن کردن از سرنگ با سرسوزن ۲۰ استفاده شد) هموژن شد و به مدت پنج دقیقه در دمای محیط قرار گرفت. ۳۵۰ میلی لیتر کلروفرم ۹۹ درصد به محلول فوق اضافه شد، به مدت ۱۵ ثانیه به شدت تکان داده شد، و محلول برای ۱۰ دقیقه روی یخ قرار گرفت و سپس به مدت ۱۵ دقیقه در دمای چهار درجه سانتی گراد و ۸ گرام سانتریفیوژ شد. مایع بالایی به یک تیوب تیمار شده با دی ای پی سی منتقل شد و هم حجم مایع رویی ایزوپروپانول به محلول اضافه شد و به آرامی تکان داده و برای ۱۵ دقیقه روی یخ نگهداری شده و سپس با شرایط قبلی سانتریفیوژ شد. مایع رویی از پلت جدا شد و یک میلی لیتر اتانول ۷۵ درصد به پلت داخل تیوب اضافه شد و بعد از ورتسکس کردن محلول به مدت هشت دقیقه در دمای چهار درجه سانتی گراد و ۸ گرام دور در دقیقه سانتریفیوژ شد. مایع رویی از پلت جدا شد و بعد از خشک شدن در دمای اتاق برای چند دقیقه ۳۰ میلی لیتر آب DEPC به پلت اضافه شد و تیوب در دمای ۷۰ درجه سانتی گراد به منظور حل شدن پلیت در آب قرار گرفت و سپس تیوب در فریزر -۸۰ درجه سانتی گراد تا زمان استفاده بعدی ذخیره شد. کیفیت RNA استخراج شده با استفاده از بارگذاری روی ژل و جذب نوری بررسی شد. کلیه وسایل مورد نیاز در طی آزمایش با DEPC تیمار شده و تمامی مراحل کار با RNA از دستگش و ماسک استفاده شد.

#### cDNA ستز

پس از اطمینان از کیفیت RNA، ستز cDNA، ستز RNA انجام شد. برای ستز cDNA، ابتدا یک میکرولیتر RNA (غلظت ۱۰-۱۰۰ نانوگرم) را با یک میکرولیتر oligodT ۲۰ میلی مولار و ۱۰/۵ میکرولیتر آب به مدت ۵ دقیقه در دمای ۶۰ درجه سانتی گراد حرارت داده تا ساختار نوع دوم RNA از بین برود. سپس آن را بعد یک میکرولیتر از آنزیم RNase مخلوط شود. در مرحله میکرولیتر آنزیم RNase، چهار میکرولیتر بافر آنزیم RNase شد و دو میکرولیتر مخلوطی از داکسی نوکلئوتید ۱۰ میلی مولار را به محلول حاوی RNA اضافه کرده و به مدت یک ساعت در دمای ۴۲ درجه سانتی گراد قرار داده و پس از آن

نظیر IL-1 $\beta$ ، TNF $\alpha$  و نوراپی نفرین نقش دارد. از آنجا که غلظت CGRP در زمان بیماری تغییر می کند و این نوراپیتید با آزادسازی فاکتورهای التهابی در ارتباط است، می توان از CGRP به عنوان یک فاکتور تشخیص بیماری استفاده کرد (Beer et al. 2002). میزان این نوراپیتید بعد از زایش در خون گاوهای مبتلا به کبد چرب بیشتر از گروه کنترل بود (Ametaje 2005). بنابراین از آنجا که CGRP می تواند به عنوان یک فاکتور تشخیص بیماری ها از جمله کبد چرب استفاده شود و با توجه به اینکه بیان این ژن در بافت کبد انسان و موش بررسی شده بود و اطلاعی در مورد بیان این ژن در بافت کبد گاو و دیگر دامهای اهلی وجود نداشت این تحقیق به منظور بررسی بیان این ژن در بافت کبد گاو طراحی شد. از طرف دیگر چون آغازگری برای این ژن در گاو طراحی نشده بود تنوع این نوراپیتید جهت بررسی میزان همولوژی آن در میان گونه های جانوری بررسی شد تا اینکه مشخص شود که آیا در صورت عدم امکان و یا دسترسی به آغازگر اختصاصی گاوهای برای تعیین میزان نوراپیتید آن در خون می توان از آغازگر یا کیت دیگر گونه های جانوری استفاده کرد یا خیر. هدف از این تحقیق بررسی بیان ژن CGRP در بافت کبد گاو و بررسی تنوع این نوراپیتید در گونه های جانوری بود.

#### مواد و روش ها

##### نمونه گیری

برای انجام این طرح، نمونه های کبد مورد نیاز از کشتارگاه دام نجف آباد (گاو نر پرورادی) و گاوداری های فکا و لورک (گاوهای شیری) تهیه شد. نمونه ها (۲ نمونه کبد گاو تازه زا و ۸ نمونه کبد کشتارگاهی گاو خشک و گاونر) بعد از جمع آوری بلا فاصله در ازت مایع قرار گرفت و به آزمایشگاه بیوتکنولوژی دانشگاه صنعتی اصفهان منتقل شد و تا زمان استخراج RNA در دمای -۸۰ درجه سانتی گراد ذخیره شد.

##### استخراج RNA

به منظور استخراج RNA با استفاده از کیت تجاری RN7713C (cat. RNX<sup>TM</sup>) به ترتیب مراحل زیر انجام شد: در ابتدا نمونه بافت با استفاده از ازت مایع درون هاون همگن شده و سپس ۵۰-۱۰۰ میلی گرم از نمونه آسیاب شده با یک میلی

مقطور شستشو داده شده و تحت تأثیر اشعه UV و با دستگاه Viber-Geldocumentation20M عکسبرداری انجام شد.

جهت بررسی تنوع ژن *CGRP* در بین حیوانات مختلف، به دلیل تفاوت در تعداد اگرون و ایترون و طول قطعات، از توالی پروتئین استفاده شد. برای تعیین توالی، توالی اسیدآمینه‌ای مشخص شده برای ژن *CGRP* در گاو (Hongbao 2004) با توالی دیگر حیوانات موجود در پایگاه اطلاعاتی NCBI (www.NCBI.nlm.nih.gov) موجود در بانک ژن BLAST شد و توالی‌های نزدیک به این توالی انتخاب شدند.

به منظور رسم درخت فیلوژنتیکی، قطعات پروتئین BLAST شده Multaline از پایگاه اطلاعاتی NCBI جمع‌آوری شد. از نرمافزار برای هم‌دیف‌سازی توالی‌ها استفاده شد. برای تجزیه و تحلیل فیلوژنتیکی داده‌ها و رسم درخت از نرمافزار MEGA. Ver 4.0 و DNAMAN.exe استفاده شد. درخت‌های فیلوژنتیکی بر اساس چهار روش (MP) Maximum Parsimony، حداقل درست نمایی<sup>۱</sup> (ML)، نزدیکترین همسایه‌ها<sup>۲</sup> (NJ) و حداقل تکامل<sup>۳</sup> (ME) ترسیم شدند (Saitou and Nei 1987).

## نتایج و بحث

بیان ژن *CGRP* برای نمونه کبد گاوهای تا روز ۶۰ بعد از زایمان مشاهده شد ولی دارای باندهای اضافی بود (شکل ۱) و با تغییر شرایط PCR باند اضافی همچنان مشاهده شد ولی برای نمونه‌های کبد گاو نر و گاوهای دوره خشک در طی این تحقیق بیان ژن *CGRP* مشاهده نشد. بنابراین به نظر می‌رسد مطالعه این ژن در نمونه‌های کبد گاوهای تا روز ۶۰ بعد از زایش انجام شود و شرایط PCR بصورت جامع‌تری مورد بررسی قرار گیرد و در صورت امکان از Real Time-PCR برای اندازه‌گیری بیان این ژن استفاده شود. تحقیقات نشان داد که ژن *CGRP* در بافت کبد انسان شود. با توجه به این تحقیقات انتظار می‌رفت که این ژن در بافت کبد گاو هم بیان شود.

محلول را بر روی یخ منتقل کرده و در نهایت به مدت ۱۰ دقیقه در دمای ۷۰ درجه سانتی‌گراد قرار گرفت.

واکنش زنجیره‌ای پلیمراز

در این تحقیق نمونه کبد از گاوهای گشتارگاهی و گاوداری جمع‌آوری شد و بیان ژن برای ژن کترول (بتا-اکتین) و ژن *CGRP* انجام شد. واکنش زنجیره‌ای پلیمراز برای ژن *CGRP* (بعنوان یک ژن کترول) بعد از سترز cDNA  $\beta$ -actin صورت گرفت. مواد واکنش زنجیره‌ای پلیمراز برای این دو ژن شامل دو میکرولیتر cDNA، دو میکرولیتر بافر (X)، ۰/۵ میکرولیتر کلرید منیزیم (۵۰ mM)، ۰/۶ میکرولیتر مخلوط داکسی نوکلئوتیدها (۱۰ mM)، یک میکرولیتر آغازگر رفت (۱۰ mM)، یک میکرولیتر آغازگر برگشت (۱۰ mM)، ۰/۵ میکرولیتر آنزیم *Taq* پلیمراز (۵ واحد) و ۱۲/۶ میکرولیتر آب مقطور بود.

با انجام PCR و با استفاده از آغازگرهای ژن  $\beta$ -actin که در اکثر بافت‌ها بیان می‌شود، نرمال کردن بافت‌ها صورت گرفت. توالی آغازگرهای مورد استفاده برای تکثیر ژن *CGRP* و  $\beta$ -actin مطابق جدول یک بود. برای ژن بتا-اکتین و اسرشت اولیه ۹۴ درجه سانتی‌گراد دو دقیقه، ۲۵ سیکل و اسرشت ۹۴ درجه ۳۰ ثانیه، اتصال ۵۴ درجه ۳۰ ثانیه و گسترش در دمای ۷۲ درجه ۴۵ ثانیه و گسترش نهایی در ۷۲ درجه سانتی‌گراد برای ۱۰ دقیقه صورت گرفت. واکنش PCR برای ژن *CGRP* بصورت و اسرشت اولیه ۹۴ درجه سانتی‌گراد دو دقیقه، ۳۰ سیکل و اسرشت ۹۴ درجه یک دقیقه، اتصال ۶۰/۹ درجه یک دقیقه و گسترش در دمای ۷۲ درجه یک دقیقه و گسترش نهایی در ۷۲ درجه سانتی‌گراد برای ۱۰ دقیقه انجام شد.

برای الکتروفورز محصولات PCR پنج میکرولیتر از محصولات PCR با ۳ میکرولیتر بافر بارگذاری بر روی ژل آگارز یک درصد بارگذاری شد. الکتروفورز با ولتاژ ۸۵ و به مدت یک ساعت انجام شد. در کنار نمونه‌ها، سه میکرولیتر نشانگر اندازه به منظور مقایسه برای اندازه‌گیری و تخمین اندازه قطعه و همچنین بررسی چگونگی انجام الکتروفورز بارگذاری شد. پس از انجام الکتروفورز ژل با اتیدیوم بروماید رنگ‌آمیزی و سپس در آب

<sup>1</sup> Maximum Likelihood

<sup>2</sup> Neighbor Joint

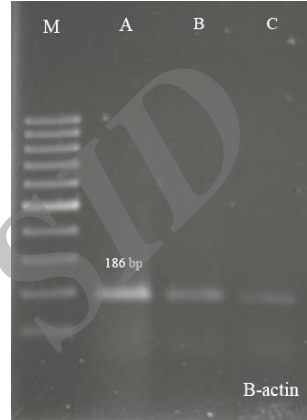
<sup>3</sup> Minimum Evolution

جدول ۱- توالی آغازگرهای ژن *CGRP* و  $\beta$ -*actin*

ژن	آغازگرها	توالی ها	اندازه قطعه (bp)
ژن <i>CGRP</i>	آغازگر رفت	5' TGGGACGACATGGAGAAGATCTGGC 3'	۱۸۶
	آغازگر برگشت	5' CAGCACAGCCTGGATGCCACGTAC 3'	
$\beta$ - <i>actin</i>	آغازگر رفت	5' GCTGCCCTTCCTGGCCTCA 3'	۲۳۶
	آغازگر برگشت	5' TGGCGGCATTACTGGTCTCTCCTG 3'	

نتایج همردیفسازی توالی اسید آمینه‌ای این ژن با استفاده از نرم-افزار MEGA نشان داد که این ژن در گونه‌های مختلف دارای نقاط حفاظت شده بالایی است (شکل ۲). همچنین نتایج حاصل از BLAST توالی ژن *CGRP* گاوی با دیگر گونه‌ها توسط توسط نرم-افزار DNAMAN و پایگاه اطلاعاتی NCBI مشخص شد. نتایج حاصل از مقایسه توالی در پایگاه اطلاعاتی NCBI نشان داد که این ژن در گاو بیشترین همولوژی را بترتیب با ژن *CGRP-II* موش صحرابی (۹۷ درصد) و کمترین همولوژی را با ژن *CGRP* ماهی (۸۳ درصد) دارد (جدول ۲). همچنین درصد همولوژی این ژن در گاو و انسان ۹۴ درصد گزارش شده است، بنابراین احتمالاً می‌توان از کیت *CGRP* انسانی برای اندازه‌گیری این پپتید در گاو استفاده کرد. نتایج حاصل از همردیفسازی این ژن توسط نرم‌افزار DNAMAN نشان داد که درصد همولوژی این ژن بین ۱۶ گونه مورد مطالعه از ۷۸/۴ تا ۱۰۰ درصد متغیر است که مشخص کننده همولوژی بالای این ژن در گونه‌های مختلف است. همچنین نتایج همردیفسازی با این نرم‌افزار نشان داد که ژن *CGRP* گاوی دارای همولوژی بالایی با دیگر گونه‌های است (جدول ۲). همچنین توالی اسید آمینه‌ای این ژن در گونه‌های مختلف جانوری دارای اسید آمینه‌های حفاظت شده زیادی است (شکل ۳).

در درخت فیلوژنتیکی رسم شده بر اساس مجموعه داده کل، گاو با ضریب اطمینان متوسط تا قوی در کنار خرگوش قرار گرفت و بیشترین شباهت را با این حیوان داشت. از نظر تکاملی و نزدیکترین همسایه‌ها<sup>۱</sup> (شکل ۵) گرسنگ و خرگوش نزدیکترین حیوانات به گاو بودند و این حیوانات به همراه موش، موش صحرابی و خوک با ضریب اطمینان متوسط



شکل ۱- بررسی بیان ژن بتا اکتین (الف) و *CGRP* (ب) در بافت کبد گاوهای شیری. (M) مارکر؛ A و B به ترتیب بیان ژن در گاو مربوط به طرح و نمونه کشتارگاهی.

استروژن و پروژسترون اثر مستقیمی بر سنتز و آزادسازی *CGRP* ندارند ولی این دو هورمون استروئیدی در اعصاب گانگلیای پشتی و در حضور NGF باعث افزایش آزادسازی *CGRP* می‌شوند (Yallampalli et al. 2002). بنابراین احتمالاً یکی از دلایل بیان این ژن در گاوهای شیری و عدم مشاهده بیان این ژن در گاوهای نر و گاوهای دوره خشک اثر استروژن و پروژسترون بر بیان و آزادسازی این ژن باشد.

<sup>۱</sup> Neighbor joint

Protein Sequences																		
	*	*	*	*	*	*	*	*	*	*	*	*	*	*	*	*	*	*
Mouse_CGRP1	S	C	M	I	A	C	V	T	H	L	A	G	L	L	S	G	V	V
Rat_CGRP1	S	C	M	I	A	C	V	T	H	L	A	G	L	L	S	G	G	V
Rat_CGRP2	S	C	M	I	A	T	E	V	H	L	A	G	L	L	S	G	V	V
Canine_CGRP	S	C	M	I	A	C	V	T	H	L	A	G	L	L	S	G	G	V
Mouse_CGRP2	S	C	M	I	A	C	V	T	H	L	A	F	L	L	S	G	G	V
Porcine_CGRP	S	C	M	I	A	C	V	T	H	L	A	G	L	L	S	G	G	M
Equine_CGRP	S	C	M	I	A	T	E	V	H	L	A	G	L	L	S	G	V	V
Ovis_CGRP	S	C	M	I	A	T	E	V	H	L	A	G	L	L	S	G	V	V
Bovine_CGRP	A	C	M	I	A	C	V	T	H	L	A	G	L	L	S	G	G	V
Rabbit_CGRP	C	C	M	I	A	C	V	T	H	L	A	G	L	L	S	G	G	M
Human_CGRP_2	A	C	M	I	A	C	V	T	H	L	A	G	L	L	S	G	G	M
Monkey_CGRP	A	C	M	I	A	T	E	V	H	L	A	G	L	L	S	G	G	M
Human_CGRP1	A	C	D	I	A	C	V	T	H	L	A	G	L	L	S	G	G	M
Chicken_CGRP	A	C	M	I	A	C	V	T	H	L	A	D	F	L	S	G	G	M
Frog_CGRP	A	C	M	I	A	C	V	T	H	L	A	D	F	L	S	G	G	M
fish_CGRP	A	C	M	I	A	T	E	V	H	L	A	D	F	L	S	G	G	M

شکل ۲- هم رده بسازی توالی اسید آمینه ای ژن *CGRP* در گونه های مختلف جانوری

\* ستون های ستاره دار نشان دهنده اسید آمینه های حفاظت شده در گونه های مختلف جانوری است.

جدول ۲- ماتریس همولوژی توالی *CGRP* گونه های مختلف حیوانات

۱۶	۱۵	۱۴	۱۳	۱۲	۱۱	۱۰	۹	۸	۷	۶	۵	۴	۳	۲	۱	۱۰۰	Fish <i>CGRP-۱</i>
																۱۰۰	Frog <i>CGRP-۲</i>
																۱۰۰	Ovis <i>CGRP-۳</i>
																۱۰۰	Rat <i>CGRP1-۴</i>
																۱۰۰	Rat <i>CGRP2-۵</i>
																۱۰۰	Canine <i>CGRP-۶</i>
																۱۰۰	Equine <i>CGRP-۷</i>
																۱۰۰	Human <i>CGRP1-۸</i>
																۱۰۰	Monkey <i>CGRP-۹</i>
																۱۰۰	Mouse <i>CGRP1-۱۰</i>
																۱۰۰	Rabbit <i>CGRP-۱۲</i>
																۱۰۰	Bovine <i>CGRP-۱۳</i>
																۱۰۰	Chicken <i>CGRP-۱۴</i>
																۱۰۰	Human <i>CGRP2-۱۵</i>
۱۰۰	۹۱/۹	۷۸/۴	۹۱/۹	۹۴/۶	۸۹/۲	۹۱/۹	۹۱/۹	۸۳/۸	۹۷/۳	۹۱/۹	۸۶/۵	۹۱/۹	۹۱/۹	۸۱/۱	۸۱/۱	Porcine <i>CGRP-۱۶</i>	

خوک، گوسفند و خرگوش در یک دسته قرار گرفت. درخت MP شباهت گاو با انسان و خرگوش را با ضریب اطمینان قوی (۹۷-۱۰۰ درصد، PP1.0) تایید کرد.

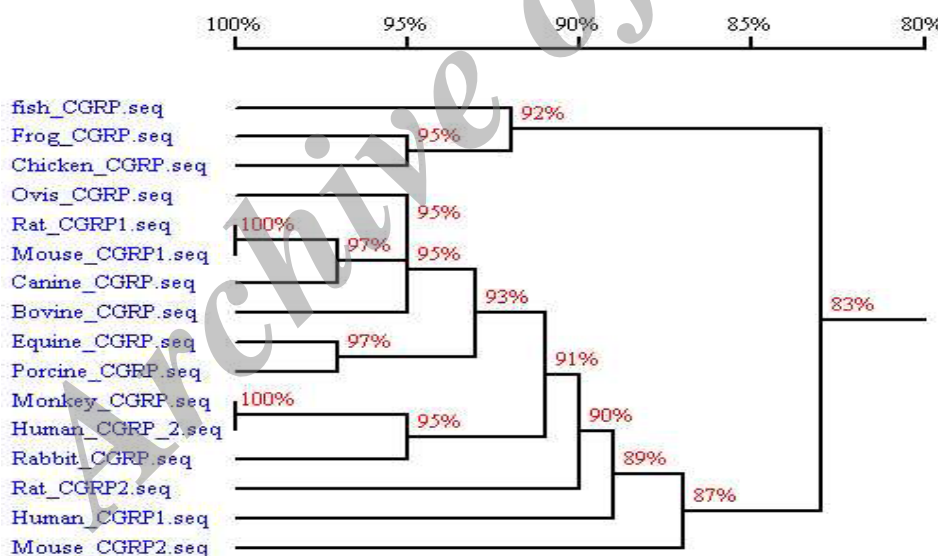
درخت همولوژی شباهت بالای این حیوانات از نظر این پیتید را تایید کرد. از نظر همولوژی *CGRP* بین این حیوانات

در یک دسته قرار گرفتند (۷۴درصد، PP1.0). در درخت UPGMA<sup>۱</sup> (شکل ۶) ترسیم شده حیوانات در دو دسته قرار گرفتند که در این درخت گاو با ضریب اطمینان متوسط (۶۷درصد، PP1.0) با انسان، موش، صحرابی، میمون، اسب،

<sup>۱</sup> Maximum likelihood

	S	C	N	T	A	T	C	V	T	H	R	L	A	G	L	L	S	R	S	G	G	V	V	K	D	N	F	V	P	T	N	V	G	S	E	A	F
✓ 1. Mouse CGRP1	.	.	.	.	.	.	.	.	.	.	.	.	.	.	.	.	.	.	.	.	.	.	.	.	.	.	.	.	.	.	.	.	.	.	.	.	
✓ 2. Rat CGRP1	.	.	.	.	.	.	.	.	.	.	.	.	.	.	.	.	.	.	.	.	.	.	.	.	.	.	.	.	.	.	.	.	.	.	.	.	
✓ 3. Rat CGRP2	.	.	.	.	.	.	.	.	.	.	.	.	.	.	.	.	R	.	.	.	.	.	.	.	.	.	.	.	.	.	.	.	K	.	.		
✓ 4. Canine CGRP	.	.	.	.	.	.	.	.	.	.	.	.	.	.	.	.	.	.	.	.	.	.	.	.	.	.	.	.	.	.	N	.	.	.	.	.	
✓ 5. Mouse CGRP2	.	.	.	.	.	.	.	.	.	.	.	D	.	.	.	.	.	.	.	.	.	.	L	.	.	.	.	.	D	.	.	.	.	.	.		
✓ 6. Porcine CGRP	.	.	.	.	.	.	.	.	.	.	.	.	.	.	.	.	.	.	M	.	S	.	.	.	D	.	.	.	.	.	.	.	.	.	.		
✓ 7. Equine CGRP	.	.	.	.	.	.	.	.	.	.	.	.	.	.	.	.	.	.	.	S	.	.	D	.	.	.	.	.	.	.	.	.	.	.	.	.	
✓ 8. Ovis CGRP	.	.	.	.	.	.	.	.	.	.	.	.	.	.	.	.	.	.	S	.	.	.	.	.	.	.	.	.	Q	.	.	.	.	.	.		
✓ 9. Bovine CGRP	A	.	.	.	.	.	.	.	.	.	.	.	.	.	.	.	.	.	S	.	.	.	.	.	.	.	.	.	.	.	.	.	.	.	.	.	
✓ 10. Rabbit CGRP	G	.	.	.	.	.	.	.	.	.	.	.	.	.	.	.	.	M	.	S	.	.	.	.	.	.	.	.	.	.	.	.	.	.	.	.	
✓ 11. Human CGRP 2	A	.	.	.	.	.	.	.	.	.	.	.	.	.	.	.	.	M	.	S	.	.	.	.	.	.	.	.	K	.	.	.	.	.	.		
✓ 12. Monkey CGRP	A	.	.	.	.	.	.	.	.	.	.	.	.	.	.	.	M	.	S	.	.	.	.	.	.	.	.	K	.	.	.	.	.	.	.		
✓ 13. Human CGRP1	A	.	D	.	.	.	.	.	.	.	.	.	.	.	.	.	N	.	.	.	.	.	K	.	.	.	.	.	.	.	.	.	.	.	.		
✓ 14. Chicken CGRP	A	.	.	.	.	.	.	.	.	.	D	F	.	.	.	.	G	N	.	.	.	K	.	.	.	.	.	.	.	.	.	.	.	.	.		
✓ 15. Frog CGRP	A	.	.	.	.	.	.	.	.	D	F	.	.	.	.	M	A	N	.	.	.	K	.	.	.	.	.	.	.	.	.	.	.	.	.		
✓ 16. fish CGRP	A	.	.	.	.	.	.	.	D	F	.	.	.	M	G	N	S	.	.	.	K	.	.	.	.	.	.	.	.	.	.	.	.	.	.		

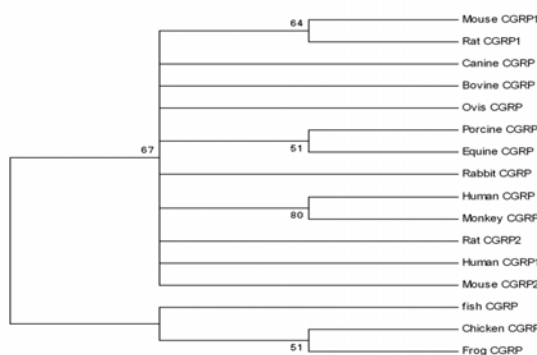
شکل ۳- توالی هاپلوتاپ‌های پروتئین *CGRP* در گونه‌های مختلف جانوری. نقاط جدول نشان‌دهنده اسید‌آمینه‌های حفاظت شده است و اسید‌آمینه‌های غیر حفاظت شده با حروف مشخص شده است.



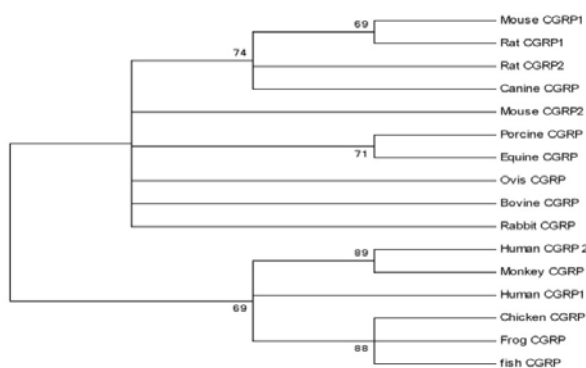
شکل ۴- درخت همولوژی گونه‌های مختلف دامی با استفاده از نرم‌افزار DNAMAN. گونه‌های موجود در یک شاخه دارای همولوژی یکسان هستند.

این نوروپپتید در سرم گاوهای مورد مطالعه بود. نتایج مقایسه توالی اسید آمینه‌ای این نوروپپتید در گونه‌های مختلف دامی هم نشان داد که از نظر همولوژی این پپتید در گاو، انسان و موش به همدیگر نزدیک هستند (جدول ۲) بنابراین احتمالاً می‌توان از کیت انسان و یا موش جهت اندازه‌گیری *CGRP* در گاو استفاده کرد.

دارای همولوژی بالا (۸۳ درصد) بود و گاو بیشترین همولوژی (۹۵ درصد) را با گوسفند، موش (*CGRP1*)، موش صحرابی (*CGRP1*) و سگ داشت (شکل ۴). در مقایسه توالی اسید‌آمینه‌ای *CGRP* هدف بررسی میزان تشابه اسید آمینه‌ای این نوروپپتید جهت استفاده از کیت *CGRP* انسان و یا موش جهت اندازه‌گیری



شکل ۶- درخت UPGM حاصل از مجموعه داده اسیدآمینه‌ای توالی کدکننده ژن *CGRP*. گونه‌های موجود در یک شاخه بر اساس روش نزدیکترین همسایه‌ها در یک دسته از نظر یکسانی در توالی ژن *CGRP* قرار دارند.



شکل ۵- درخت NJ حاصل از مجموعه داده اسیدآمینه‌ای توالی کدکننده ژن *CGRP*. گونه‌های موجود در یک شاخه بر اساس روش نزدیکترین همسایه‌ها در یک دسته از نظر یکسانی در توالی ژن *CGRP* قرار دارند.

### منابع

- Ametaje NB (2005) A New Understanding of the Causes of Fatty Liver in Dairy Cows. *Advances in Dairy Technology* 17: 97.
- Beer S, Weighardt H, Emmanuilidis K, Harzenetter MD, Matevossian H, Heidecke CD, Bartels H, Siewert JR, Holzmann B (2002) Systemic neuropeptide levels as predictive indicators for lethal outcome in patients with postoperative sepsis. *Critical Care Medicine* 30:794-1798.
- Bell D, McDermott BJ (1996) Calcitonin gene-related peptide in the cardiovascular system: characterization of receptor populations and their (patho) physiological significance. *Pharmacology Reviews* 48:253-288.
- Bracqa S, Clementb B, Pidoux E, Moukhtara MS, Jullienne A (1994) CGRP is expressed in primary cultures of human hepatocytes and in normal liver. *FEBS Letters* 351:63-66.
- Brain S, Grant AD (2004) Vascular actions of calcitonin gene-related peptide and adrenomedulin. *Journal of Physiological reviews* 84:903-934.
- Eynott PR, Groneberg DA, Caramori G, Adcock IM, Donnelly LE, Kharitonov S, Barnes PJ, Chung KF (2002) Role of nitric oxide in allergic inflammation and bronchial hyperresponsiveness. *European Journal of Pharmacology* 452:123-133.
- Gracious RR, Uma Y, Chandra Y (2008) Cyclic AMP-independent CGRP 8-37 -sensitive receptors mediate adrenomedullin-induced decrease of CaCl<sub>2</sub>-contraction in pregnant rat mesenteric artery. *Journal of Vascular Research* 45:33-44.
- Hongbao M (2004) Calcitonin gene-related peptide (CGRP). *Journal of Natural Science* 2:41-47.
- Lasmoles F, Minvielle S, Cohen R, Guliana JM, Delehaye MC, Segond N, Calmettes C, Milhaud G, Lought DS, Muller LD, Kensinger RS, Sweeney TF, Griel LF (1998) Effect of added dietary fat and bovine somatotropin on

the performance and metabolism of lactating dairy cows. *Journal of Dairy Science* 27:243-246.

Lerner UH (2006) Deletions of genes encoding calcitonin, CGRP, amylin and calcitonin receptor have given new and unexpected insights into the function of calcitonin receptor and calcitonin receptor-like receptor in bone. *Journal of Musculoskeletal Neurology Interactions* 6: 87-95.

Liyu X, Jingxuan G, Xian W (2000) Induction and expression of β- calcitonin gene-related peptide in rat T lymphocytes and its significance. *Journal of Natural Science* 39:4360-4366.

Pin SS, Bahr BA (2008) Protein kinase C is a common component of CGRP receptor desensitization induced by distinct agonists. *Journal of Pharmacology* 587:8-1.

Rachel ND, Kerry ML, Bridget LL, Lynda W, Debbie LH, Lance YX, Edward WK, Anthony RJP, Grath JSC (2008) Evidence that α-calcitonin gene-related peptide is a neurohormone that controls systemic lipid availability and utilization. *Journal of Endocrinology* 149:154-160.

Saitou N, Nei M (1987) The neighbor-joining method: A new method for reconstructing phylogenetic trees. *Molecular Biotechnology and Evolution* 4: 406-425.

Springer J, Geppetti P, Fischer A, Groneberg DA (2003) Calcitonin gene-related peptide as inflammatory mediator. *Pulmonary Pharmacology Therapeutics* 16:121-130.

Storry JE, Hall AJ, Johnson VW (1973) The effects of increasing amounts of dietary tallow on milk-fat secretion in the cow. *Journal of Dairy Research* 40:293.

Wimalawansa SJ (1996) Calcitonin gene-related peptide and its receptors: molecular genetics, physiology, pathophysiology, and therapeutic potentials. *Endocrine Reviews* 17: 533-585.

Yallampalli C, Chauhan M, Thota CS, Kondapaka S, Wimalawansa SJ (2002) Calcitonin gene-related peptide in pregnancy and its emerging receptor heterogeneity. *Trends Endocrinol Metab* 13: 263-269.